

## مقاله پژوهشی

## معرفی نرم افزار Optoskin V.0.1.Beta برای پردازش و تحلیل تصاویر در ماتوسکوپی

## چکیده

انیس میسمی<sup>۱</sup>  
محمدعلی انصاری<sup>۲\*</sup>

**مقدمه:** دستگاه درماتوسکوپ ابزاری است که با فراهم آوردن نمایی بزرگ از لکه های پوستی می تواند در تشخیص بهتر بیماری های پوستی از جمله سرطان خطرناک ملانوما تاثیرگذار باشد. افزودن یک ابزار نرم افزاری با قابلیت پردازش، تحلیل و درنهایت تشخیص لکه های پوستی می تواند به عنوان دستیار پزشک متخصص پوست عمل کند. در این مقاله، به معرفی نرم افزاری با عنوان Optoskin ورژن یک که به عنوان رابط کاربری گرافیکی درماتوسکوپ ساخته شده در آزمایشگاه تصویربرداری نوری دانشگاه شهید بهشتی و با حمایت شرکت پرتو آوای اطلس است، می پردازیم.

**روش بررسی:** این نرم افزار ضمن فراهم آوردن امکان تصویربرداری از پوست، به پردازش تصاویر گرفته شده پرداخته و براساس الگوریتم ABCD شاخص های مهم یک لکه پوستی شامل تقارن، بی نظمی مرزی، رنگ و قطر را اندازه گیری می کند. برای اندازه گیری هر یک از این شاخص ها ابتدا تصاویر پیش پردازش شده و بعد از یافتن مرزهای لکه، با کمک الگوریتم های طراحی شده در این نرم افزار ویژگی های ظاهری ضایعه پوستی شناسایی می شود.

**یافته ها:** برای آزمودن عملکرد نرم افزار نیز از داده های تجربی و داده های موجود در دیتاست های HAM10000 و PH2 استفاده شده است. در نهایت، با کمک این نرم افزار به ۶۷٪ درستی تشخیص، ۷۲٪ حساسیت و ۶۱٪ شاخص ویژگی دست یافتیم.

**نتیجه گیری:** نرم افزار Optoskin برای پردازش و تجزیه و تحلیل تصاویر درماتوسکوپی طراحی شده است و می تواند به طور خودکار شاخص های مهمی مانند عدم تقارن، بی نظمی مرز، رنگ و قطر ضایعات را بر مبنای قانون ABCD اندازه گیری کند. این نرم افزار همچنین قادر به طبقه بندی هوشمند ضایعات ملانومایی و خوش خیم است. هنگام آزمایش با داده های واقعی و مجموعه داده های استاندارد، Optoskin اثربخشی بالا، با دقت، حساسیت و ویژگی قابل توجه نشان داده است.

**واژه های کلیدی:** درماتوسکوپی، پردازش تصویر، آنالیز تصویر، Optoskin V.0.1.Beta، الگوریتم ABCD، تشخیص ملانوما

۱. کارشناسی ارشد فوتونیک، دانشگاه شهید بهشتی، تهران، ایران
۲. دانشیار و مدیر آزمایشگاه تصویربرداری نوری، دانشگاه شهید بهشتی، تهران، ایران

نویسنده مسئول: محمدعلی انصاری

پست الکترونیکی:

[ansari@sbu.ac.ir](mailto:ansari@sbu.ac.ir)

۰۹۱۲۵۸۹۶۴۳۷

شماره تماس:

تصاویر است. این عمل می‌تواند به بهبود کیفیت تصویر و حذف نویزها کمک کرده و باعث سهولت تشخیص خودکار لکه‌های ملانومایی و غیرملانومایی شود.

مرحله دوم که شامل استخراج ویژگی‌های کلینیکی است گامی مهم در تشخیص نوع ضایعه پوستی بهشمار می‌رود. برای انجام این فرآیند، چندین چهارچوب راهنمای ایجاد شده که در همگی آنها به سه مشخصه بافت، شکل و رنگ پرداخته می‌شود. این چهارچوب‌ها عبارتند از: معیار تحلیل الگو<sup>۱</sup>، روش امتیازدهی منزیس<sup>۲</sup>، چک لیست ۷ نکته‌ای<sup>۳</sup>، قانون ABCD(E)<sup>۴</sup>.

روش تحلیل الگو به بررسی الگوی کلی موجود قابل مشاهده در ضایعه شامل طرح‌های شبکه‌ای، دایروی، همگون، ستاره‌ای، پیچیده، شبکه‌ی رنگدانه‌ها، ساختارهای عروقی و غیره می‌پردازد. در روش امتیازدهی منزیس ویژگی‌های لکه پوستی به دو دسته مثبت و منفی تقسیم می‌شود: ویژگی‌های منفی شامل تقارن و تکرارنگی است. وجود هر دو ویژگی باعث می‌شود ضایعه ملانوما نباشد. ویژگی‌های مثبت شامل ۹ ویژگی ظاهری از جمله وجود پوشش آبی - سفید، نقاط قوهای، وجود انشعابات و غیره است. وجود یکی از این ویژگی‌ها برای تشخیص ملانوما ضروری است.

در روش چک لیست هفت نکته‌ای سه معیار بزرگ و چهار معیار کوچک در نظر گرفته می‌شود که وجود سه مورد (دو مورد از معیارهای بزرگ و یک مورد از معیارهای کوچک) برای تشخیص ملانومایی بودن ضایعه پوستی ضروری است. معیارهای بزرگ شامل ساختار شبکه‌ای نامنظم، پوشش آبی - سفید و الگوهای وریدی نامنظم و معیارهای کوچک شامل بی‌نظمی در مرز و رنگدانه‌ها، وجود نقاط و لکه‌های نامنظم و ساختارهای پسرفتی<sup>۵</sup> است.

قانون ABCD(E)<sup>۶</sup> که یکی از متداول‌ترین روش‌های مورد استفاده در معاینه کلینیکی است و در سال ۱۹۸۵ توسط گروهی از محققان

<sup>2</sup> Pattern Analysis Criteria

<sup>3</sup> Menzies Scoring

<sup>4</sup> ۷-Point Checklist

<sup>5</sup> ABCD: Asymmetry(A), Border(B), Color(C), Diameter(D), Evolution(E)

<sup>6</sup> Regression Structure

## مقدمه

مانلونما خطرناک‌ترین نوع سرطان پوست است که خطر آن در رشد سریع و هجوم به دیگر ارگان‌هاست. در دهه‌های اخیر، نرخ مرگ‌ومیر در اثر این بیماری افزایش یافته است [۱، ۲]. تحقیقات نشان داده معاینه دقیق لکه‌های پوستی و نظارت بر تغییرات آنها می‌تواند در تشخیص و درمان به موقع این بیماری موثر باشد و مرگباری آن را کاهش دهد [۳، ۴].

درماتوسکوپی یک روش تصویربرداری غیرتهاجمی است که به کمک آن تصاویری با بزرگنمایی بیشتر به دست می‌آید [۵]. این تکنیک مهم در سه دهه اخیر توانسته به یک ابزار ضروری و مهم برای پزشکان متخصص پوست تبدیل شده و به آنها امکان تشخیص درست‌تر و اقدام سریع‌تر برای درمان داده است. با این حال، از آنجایی که تشخیص ملانوما بسیار به مهارت و تجربه پزشک متخصص در معاینه و شناسایی الگوهای موجود در لکه‌های پوستی بستگی دارد، این روش همچنان یک الگوریتم که بتواند به صورت خودکار ویژگی‌ها و الگوهای موجود در ضایعات پوستی را استخراج و تحلیل کرده و عمل تشخیص را انجام دهد می‌تواند دستیار بسیار خوبی برای متخصصین بهویه پزشکان جوان باشد. خوشبختانه امروزه پیشرفت‌های چشمگیری در سیستم‌های تشخیص بر مبنای کمک کامپیوتر<sup>۱</sup> برای تشخیص خودکار ملانوما صورت گرفته است [۶] و این سیستم‌ها توانسته‌اند دست کم عملکرد بهتری از پزشکان کم تجربه و به تازگی از از متخصصان با تجربه داشته باشند [۷].

تشخیص خودکار ملانوما سه مرحله اساسی دارد که عبارتند از: قطعه‌بندی تصاویر، استخراج ویژگی‌های ضایعات پوستی و در نهایت انتخاب ویژگی‌ها و طبقه‌بندی [۸]. در فاز اول، تصاویر درماتوسکوپی تنها به دو بخش پس زمینه و لکه تقسیم می‌شود و موجب می‌شود با ایجاد یک ماسک بر روی پس زمینه، تنها بر روی خود ضایعه تمرکز کنیم. آن‌چه که در این مرحله می‌تواند به دقیق‌تر شدن محل لکه و قطعه‌بندی آن کمک کند انجام عمل پیش‌پردازش

<sup>1</sup> Computer Aided Diagnosis: (CAD)

مانند قطر، مساحت، محیط و رنگ لکه‌های پوستی را تشخیص می‌دهد. پس از آن، به تحلیل آنها پرداخته و براساس الگوریتم آنها را طبقه‌بندی می‌کند. این نرم‌افزار در زبان پایتون ورژن ۳.۷ نوشته شده است و بر روی تمامی سیستم عامل‌های ویندوز و مک قابل نصب است.

پنجه‌ره اصلی نرم‌افزار شامل قسمتی برای ورود اطلاعات بیمار، قالبی برای نمایش خروجی دوربین، دکمه‌هایی برای ضبط ویدئو، ثبت عکس، نوشتن نظر و پردازش تصاویر است. قسمت پردازش تصویر شامل دو بخش با امکان پردازش پایه‌ای و پیشرفته است. این امکانات عبارتند از چرخش، تغییر اندازه، برش، اعمال فیلترهای هموارسازی<sup>۲</sup>، افزایش وضوح تصویر<sup>۳</sup> و قطعه‌بندی<sup>۴</sup>، حذف مو و تشخیص مرزاها. در قسمت اندازه‌گیری نیز امکان کمی‌سازی ویژگی‌های ضایعات پوستی وجود دارد. بعد از استخراج ویژگی‌های ظاهری، به هر شاخص مهم امتیازی داده شده و خوش‌خیمی و یا بدخیمی لکه به صورت خودکار تعیین می‌شود.

برای ارزیابی عملکرد نرم‌افزار از دو نوع داده‌ی تجربی و داده‌های موجود در دیتابست‌ها استفاده شده است. داده‌های تجربی توسط درماتوسکوپ گرفته شده است. این داده‌ها در آزمایشگاه تصویربرداری نوری در دانشگاه شهید بهشتی گرفته شده است که البته به دلیل دردسترس نبودن پژوهش مخصوص تنها بر روی اندازه‌گیری قطر لکه‌ها تمرکز شده است؛ به این صورت که پس از کالیبره کردن نرم‌افزار، از لکه‌های پوستی ۱۰ فرد داودطلب شامل ۶ مرد و ۴ زن و ۱۰ تصویر چاپی عکسبرداری و به طور همزمان اندازه قطر بزرگ لکه‌ها توسط کولیس اندازه‌گیری شده است تا بین عملکرد نرم‌افزار در اندازه‌گیری قطر و مقدار واقعی اندازه‌گیری شده مقایسه‌ای صورت گیرد. پس از آن خطای مطلق اندازه‌گیری محاسبه شده است. شایان ذکر است که در مراحل بعدی قصد داریم که با همکاری با چند کلینیک تخصصی پوست از این نرم‌افزار برای ارزیابی و تشخیص داده‌های بالینی استفاده کنیم و صحت عملکرد نرم‌افزار را به صورت کلینیک بسنجدیم.

<sup>2</sup> Smoothing

<sup>3</sup> Sharpening

<sup>4</sup> Segmentation

دانشگاه نیویورک ابداع و از طرف انجمن سرطان آمریکا به عنوان یکی از روش‌های قابل اعتماد برای ارزیابی اولیه هر نوع لکه پوستی رنگ‌دانه‌دار شناخته شده است. این تکنیک می‌تواند پتانسیل ملانوما بودن یک لکه را براساس ویژگی‌هایی چون تقارن، بی‌نظمی مرزی، نوع رنگ، قطر لکه‌های پوستی و تغییرات به وجود آمده در طول زمان سنجدیده و به طبقه‌بندی و ارزیابی خطر کمک کند [۱۰-۸]. البته امروزه محققان به جای ارزیابی قطر که در راهنمای کلینیکی عنوان شده است از عبارت ساختارهای درموسکوپیک<sup>۱</sup> استفاده می‌کنند و به مشخصات دیگری چون شبکه‌ی رنگدانه، تقاط، پوشش آبی - سفید و غیره می‌پردازند که البته این روش را تخصصی‌تر می‌سازد. تلاش‌های متعددی برای خودکار نمودن فرآیند تشخیص برمنای هر یک از روش‌های یادشده صورت گرفته است. با این حال در این مقاله تنها بر روی استفاده از قانون ABCD تمرکز شده است؛ چرا که در این روش مهمترین ویژگی‌های لکه‌های ملانومایی سنجدیده می‌شود و به پژوهشکان، متخصصین تازه‌کار و عموم افراد غیرپژوهشک امکان تشخیص زودهنگام ملانوما را می‌دهد.

در این مقاله، به توصیف نرم‌افزاری با عنوان Optoskin V.0.1.Beta پرداخته‌ایم که رابط کاربری درماتوسکوپی است که با حمایت شرکت پرتوآوای اطلس در آزمایشگاه تصویربرداری زیستی در دانشگاه شهید بهشتی ساخته شده است. درماتوسکوپ ساخته شده یک سیستم تصویربرداری اپتیکی است که قادر به ثبت تصویر با کیفیت ۱۲ مگاپیکسل، سرعت تصویربرداری ۲۵ فریم بر ثانیه و سیستم نورپردازی در بازه‌ی ۴۰۰ تا ۱۰۰۰ نانومتر است. این دستگاه با یک کابل USB به کامپیوتر متصل شده و داده‌ها را منتقل می‌کند. این دستگاه از لنزهای بزرگ‌کننده استفاده کرده و به صورت دستی بزرگ‌نمایی ۲۰ تا ۱۵۰ برابری فراهم می‌کنند. سیستم نورپردازی نیز از یک مجموعه الای دی حلقوی با قطبشگرهای دایره‌ای تشکیل شده است.

قادر به پردازش تصاویر پوست بوده و به تشخیص نوع لکه پوستی می‌پردازد. این نرم‌افزار به طور خودکار پارامترهای

<sup>1</sup> Dermoscopic Structures

و قطر را ارزیابی می‌کند. بعد از اندازه‌گیری این مقادیر، برای هر یک امتیازی در نظر گرفته می‌شود [۱۱]. در بخش‌های بعدی، نحوی امتیازدهی به هر ویژگی به صورت کامل شرح داده شده است. امتیازهای به دست آمده طبق معادله (۱) در ضرایب مشخصی ضرب شده و درنهایت امتیاز کلی درماتوسکوپی<sup>۹</sup> (TDS) به دست می‌آید.

$$\text{معادله (۱)} \quad TDS = 1.3 \times A_{score} + 0.1 \times B_{score} + 0.5 \times C_{score} - 1.05 \times D_{score}$$

بر طبق این امتیاز لکه‌های پوستی ملانوسیتیک به سه دسته خوش‌خیم، مشکوک و ملانوما تقسیم می‌شود. در جدول (۱) بازه‌های امتیاز کلی درماتوسکوپی و تشخیص نوع لکه بر اساس آن آمده است.

جدول ۱- تشخیص نوع ضایعه بر حسب مقدار TDS [۱۱]

تشخیص
خوش‌خیم
مشکوک: نیازمند ارزیابی بیشتر
پتانسیل بالای ملانوما

### ۱-۱-۲- تقارن

عدم تقارن یکی از مشخصه‌های مهم بدخیمی ملانومایی است. این مشخصه میزان دایروی بودن لکه‌های پوستی را تعیین می‌کند. برای تعیین تقارن یا عدم تقارن می‌توان از روش موجود در [۱۴] استفاده کرد، در این روش ابتدا تصویر را بایتری کرده، سپس آن را در دو راستای افقی و عمودی از وسط به دونیم می‌کنیم. پس از آن بر حسب تعداد پیکسل‌های اجتماع و اشتراکِ دونیمه و به کمک فاصله همود<sup>۱۰</sup> (معادله ۲) میزان تشابه بین آن دونیمه را می‌سنجم. این فاصله عددی بین ۰ تا ۱ به دست می‌دهد.

$$\text{HD} = \frac{N(X \cup Y) - N(X \cap Y)}{N(X \cup Y)} \quad \text{معادله (۲)}$$

<sup>۹</sup> Total Score Dermatoscopy: (TDS)

<sup>۱۰</sup> Hammoude Distance: HD

برای سایر داده‌ها از دیتاست‌های HAM10000 [۱۲] و [۱۳] PH<sup>2</sup> استفاده کردیم. دیتاست HAM10000 شامل ۱۰۵۰۰ عکس درماتوسکوپی است که طی ۲۰ سال در دپارتمان علوم پزشکی دانشگاه علوم پزشکی وین و مرکز سرطان پوست کلیف روزندا در کوئینزلند استرالیا گرفته شده است. عکس‌های به دست آمده از آرشیو این مراکز در صورتی که گزارش پاتولوژیک داشتند و از تشخیص سرطانی نبودن خالهای معمولی بیش از یک‌سال و نیم گذشته بود پس از مناسب سازی در ۷ دسته طبقه‌بندی شدند که این دسته‌ها عبارتند از: کراتوز آکتینیک<sup>۱</sup>، کارسینوم سلول بازال<sup>۲</sup>، کراتوز خوش‌خیم<sup>۳</sup>، درماتوفیروم<sup>۴</sup>، خال ملانوسیتیک<sup>۵</sup>، ملانوما و ضایعات عروقی. شایان ذکر است که در این مقاله فقط عکس‌های لکه‌های ملانومایی و خال ملانوسیتیک استفاده شده است. دیتاست PH<sup>2</sup> هم شامل ۲۰۰ عکس درماتوسکوپی است که هر یک به صورت دستی قطعه‌بندی شده و توسط متخصصان پوست موزه (ارزیابی) قرار گرفته است. این دیتاست حاصل همکاری جمعی دانشگاه دو پورتو، تکنیکولیسبون و مرکز درماتولوژی بیمارستان پدرو هیسپانو است. این دیتاست شامل ۸۰ خال معمول، ۸۰ خال ناهنجار مشکوک و ۴۰ لکه‌ی ملانومایی است.

برای ارزیابی عملکرد نرم‌افزار نیز شاخص‌های احتمالاتی حساسیت<sup>۶</sup>، شاخص ویزگی<sup>۷</sup> و درستی تشخیص<sup>۸</sup> به کار برده شد.

## ۲- روش

### ۱-۲- الگوریتم ABCD

یکی از روش‌هایی که متخصصان پوست برای تشخیص میزان خطر لکه‌های پوستی استفاده می‌کنند، الگوریتم ABCD است. این روش مشخصه‌های ظاهری یک ضایعه شامل تقارن، بی‌نظمی مرزی، رنگ

<sup>۱</sup> Actinic Keratoses

<sup>۲</sup> Basal Cell Carcinoma

<sup>۳</sup> Benign keratosis

<sup>۴</sup> Dermatofibroma

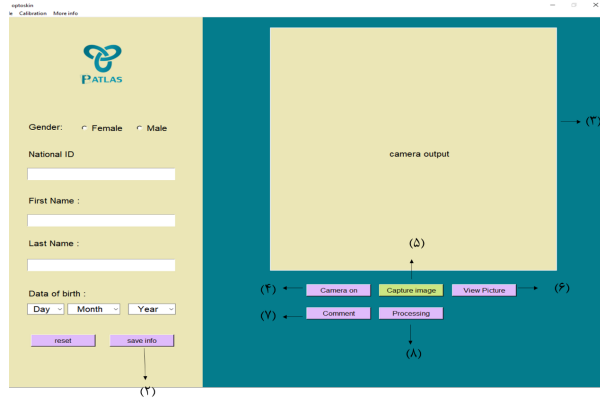
<sup>۵</sup> Melanocytic nevi

<sup>۶</sup> Sensitivity

<sup>۷</sup> Specificity

<sup>۸</sup> Detection Accuracy

ثبت تصویر و ثبت نظر تخصصی، به پردازش تصاویر درماتوسکوپی و تحلیل آنها براساس قانون ABCD می‌پردازد (شکل ۴). برای تحلیل این تصاویر، ابتدا داده‌ها پیش‌پردازش شده، سپس با کمک الگوریتم‌های طراحی شده هر یک از شاخصه‌های ظاهری مهم در لکه‌ها استخراج شده و درنهایت امتیاز کلی درماتوسکوپی محاسبه و نوع لکه تشخیص داده می‌شود. در بخش‌های بعدی به هر یک از این مراحل به تفصیل پرداخته می‌شود.



شکل ۱ پنجره اصلی نرم‌افزار دستگاه درماتوسکوپ اپتواسکین ساخته شرکت پرتو آوای اطلس برای تحلیل زائدگاه‌های پوستی. در (۱) اطلاعات شخصی بیمار وارد شده و با کلیک روی (۲) اطلاعات ثبت می‌شود. با زدن دکمه (۴) ویدئویی بر خط بر روی قاب (۳) نمایش داده می‌شود. با فشردن (۵) تصویر گرفته و ذخیره می‌شود و با کلیک روی (۶) می‌توان تصویر گرفته شده را دید. با زدن دکمه (۷) می‌توان نمایی از تصویر را مجددًا مشاهده و تشخیص خود را درج نماییم. در (۸) نیز عکس درماتوسکوپی گرفته شده پردازش و تحلیل می‌شود.

#### ۱-۱-۲- پیش‌پردازش تصویر

این عملیات خود دارای سه مرحله اساسی است. این مراحل عبارتند از:

۱) زدودن نویزها

۲) قطعه‌بندی تصویر

۳) تعیین مرزها

**زدودن نویزها:** نویزهای ایجاد شده توسط سیستم تصویربرداری، نامه موادی‌های سطح وجود مو می‌تواند عمل تشخیص را تحت شعاع قرار دهد؛ بنابراین زدودن این عوامل، امری ضروری است. برای این‌کار ابتدا عمل هموارسازی انجام می‌شود. این عمل با

در معادله (۲) X پیکسل‌های موجود در یک نیمه و Y پیکسل‌های موجود نیمه دیگر است. N نیز تعداد را نشان می‌دهد. در درماتوسکوپی وقتی این فاصله به کمتر از عدد تجربی ۰/۱۶۵ برسد امتیاز درماتوسکوپی تقارن ( $A_{score}$ ) در آن راستا را صفر و اگر به بالاتر از این عدد برسد  $A_{score}$  در آن راستا را یک در نظر می‌گیریم. امتیاز صفر به معنای تقارن و یک به معنای عدم تقارن در یک راستا است. پس از آن امتیاز تقارن در هر دو راستا با هم جمع می‌شوند.

#### ۲-۱-۲- بی‌نظمی مرزی

شکل مرز یک ویژگی ظاهری اصلی در تعیین نوع ضایعه پوستی است. مرز ناهموار و محوشده معمولاً از نشانه‌های ملانوما است. امتیاز مرز ( $B_{score}$ ) با محاسبه مساحت (A) و محیط (P) و طبق معادله زیر به دست می‌آید:

$$B_{score} = \frac{4\pi A}{P^2} \quad (۳)$$

از  $B_{score}$  ۰ تا ۱ متغیر است. امتیاز  $B_{score}$  نشان‌دهندهٔ بالاترین خطر است.

#### ۲-۱-۳- رنگ

لکه‌های ملانومایی معمولاً دارای فقط یک رنگ نبوده و چندین رنگ را دربر می‌گیرند. رنگ‌های قهوه‌ای تیره، قهوه‌ای روشن، قمز، خاکستری - آبی، مشکی و سفید از رایج‌ترین رنگ‌های موجود در لکه‌های پوستی هستند. در اینجا به ازای تشخیص هر رنگ یک امتیاز در نظر گرفته می‌شود.

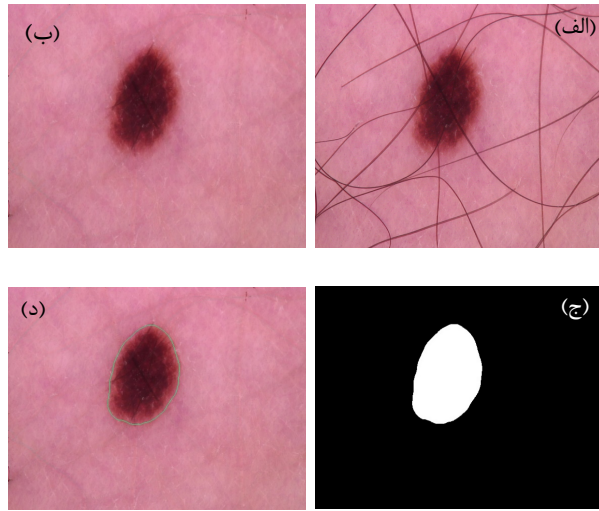
#### ۲-۱-۴- قطر

در درماتوسکوپی امتیاز قطر را برابر با اندازه قطر بزرگ لکه در نظر می‌گیرند. بنابراین، هر چه قطر بزرگ‌تر باشد، میزان خطرناکی آن افزایش می‌یابد.

#### ۲-۲- نرم‌افزار Optoskin V.0.1.Beta

نرم‌افزاری است که علاوه‌بر ایجاد یک محیط کاربری برای ثبت اطلاعات بیماران، تصویربرداری برخط،

ساخته شده در آزمایشگاه ما از یک سیستم نورپردازی با نور قطبیده برخوردار است، این اشکال در داده های گرفته شده وجود ندارد، به همین دلیل ایجاد شروط برای کنترل خطا در کد نرم افزار اعمال شده است.



شکل ۲ عملکرد نرم افزار در پیش پردازش داده ها.  
الف) شکل اصلی، ب) زدودن موها و نویزها، ج) قطعه بندی عکس، د) تعیین مرز

### ۳-۳- الگوریتم های طراحی شده برای اندازه گیری

Optoskin V.0.1.Beta در ABCD

#### ۱-۳-۲- الگوریتم تقارن

برای اندازه گیری تقارن ابتدا تصویر را با الگوریتم قطعه بندی توضیح داده شده در بخش قبل باینری می کنیم. سپس با فیت کردن یک بیضی دور قسمت لکه و تغییر زاویه، آن را در دو راستای افقی و عمودی تراز می کنیم. پس از آن تصویر را به دو نیمه تقسیم کرده و براساس معادله (۲) محاسبات را انجام می دهیم. در (شکل ۳)، نرم افزار پس از قطعه بندی، تصویر را حدود ۲۰ درجه در جهت ساعتگرد چرخانده و به دو نیمه در دو راستای افقی و عمودی تقسیم کرده است. سپس اجتماع و اشتراک را در دو راستا به دست آورده و تعداد پیکسل هایشان را اندازه گیری کرده است. در راستای افقی HD<sup>۱۴</sup> و در راستای عمودی ۱۳<sup>۰</sup> به دست آمده است بنابراین امتیاز تقارن در هر دو راستا صفر شده است.

به کار بستن فیلتر گاووسی با کرنل  $5 \times 5$  اتفاق افتاده و نویزهای اولیه حذف می شود. پس از آن با تغییر فضای رنگی از RGB به خاکستری تک کاناله و انجام عملیات مارفوولوژیک کلوزینگ، بسیاری از جزئیات تصویر همانند کاتور موها مشخص می شوند. این تصویر آستانه گیری می شود. عمل آستانه گیری با مینیمم ۱۰ و ماکزیمم ۲۵۰ صورت گرفته و ماسکی از موها موجود روی پوست ایجاد می شود. در ادامه ماسک روی تصویر اصلی اعمال شده و به کمک بی رنگ سازی براساس معادله «راه پیمایی سریع» [۱۲] موها از تصویر اصلی حذف می شوند.

**قطعه بندی تصویر:** برای باینری سازی تصویر، ابتدا یک فیلتر متوسط گیری روی تصویر اعمال می شود. پس آز با کمک آستانه گیری اوتسو<sup>۲</sup> [۱۳] (معادله ۴) تصویر به دو قسمت پس زمینه و لکه تقسیم می شود. در این معادله با کمینه سازی واریانس درون کلاسی  $\sigma_w^2(t)$  مقدار آستانه به صورت خودکار اندازه گیری

$$\text{معادله ۴} \quad \sigma_w^2(t) = \omega_0(t)\sigma_0^2(t) + \omega_1(t)\sigma_1^2(t)$$

که در اینجا،  $\omega_0(t)$  و  $\omega_1(t)$  وزن احتمال دو کلاس ۰ و  $\sigma_0^2(t)$  و  $\sigma_1^2(t)$  واریانس این دو کلاس است.

تعیین مرزها: پس از قطعه بندی تصویر با اعمال یک سری پردازش های مارفوولوژیک، شامل عملیات گسترش<sup>۳</sup> و کاهش<sup>۴</sup> کاتورهای موجود در عکس را یافته، پس از زدودن کاتورهای مرزی که در اثر نواقص در سیستم نورپردازی داده های موجود در دیتابست ها وجود دارد، به مرزهای لکه دست می یابیم. پس از آن با اعمال ماسکی از کاتور منتخب بر روی تصویر می توان مرزها را تعیین کرد (شکل ۲). البته از آنجایی که درماتوسکوپ

<sup>۱</sup> Fast Marching

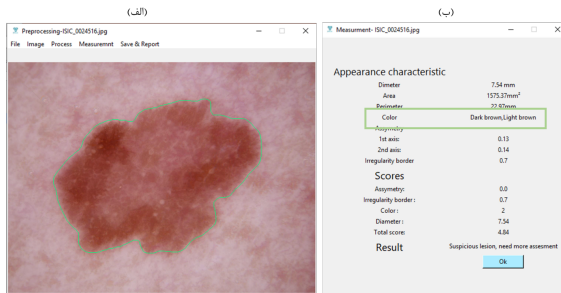
<sup>۲</sup> Otsu

<sup>۳</sup> Dilation

<sup>۴</sup> Erosion

گزارش می‌شود. ما در اینجا ۶ خوشه (کلاستر) در نظر گرفتیم. این تعداد با آزمون و خطای بدست آمده است. پس از گزارش RGB، این مقدار با پایگاه داده ما که شامل بیش از ۵۰۰۰ رنگ مختلف است مقایسه می‌شود. این مقایسه با محاسبه اختلاف اقلیدسی با رنگ‌های موجود در این پایگاه داده انجام می‌گیرد. درنهایت زمانی که این اختلاف به کمترین میزان خود برسد، RGB این هسته به عنوان یکی از رنگ‌های لکه گزارش می‌شود.

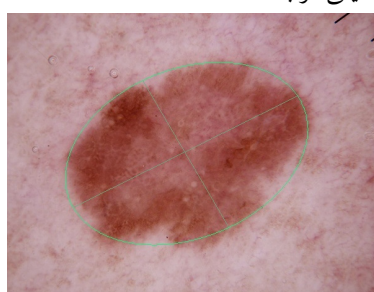
در شکل (۴) رنگ‌های تشخیص داده شده در زائده پوستی شکل (۳-الف) در پنجه اندازه‌گیری نرم‌افزار نشان داده شده است. با توجه به این که دو رنگ در این لکه تشخیص داده شده است بنابراین امتیاز رنگ برابر با ۲ به دست می‌آید.



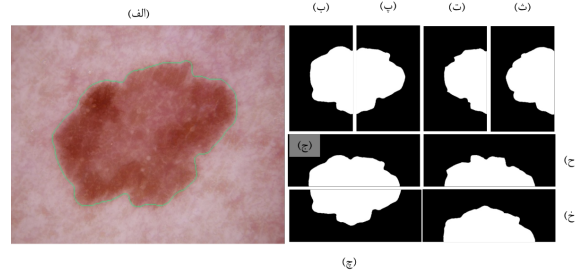
شکل ۴ (الف) تصویر زائده پوستی در پنجه نرم‌افزار Processing (ب) پنجه اندازه‌گیری و مشخص شدن رنگ لکه.

#### ۴-۳-۲- الگوریتم قطر

برای اندازه‌گیری قطر، یک بیضی که به طور کامل لکه را احاطه کرده است در نظر گرفتیم. قطر بزرگ این بیضی به عنوان قطر لکه در نظر گرفته شده و با توجه به نسبتی که در قسمت کالیبراسیون نرم‌افزار داریم (نسبت میلی‌متر به پیکسل) اندازه قطر به میلی‌متر بدست می‌آید. در شکل (۵) قطر لکه (تصویر ۳-الف) نشان داده شده است. این مقدار برابر با  $7/54$  میلی‌متر بدست آمده است.



شکل ۵ اندازه‌گیری قطر در نرم‌افزار اپتواسکین به کمک بیضی پیرامون لکه



شکل ۳ نحوه محاسبه امتیاز تقارن در skin Optoskin.  
الف) تصویر اصلی از دیناست HAM10000.  
ب) نیمه راست افقی و پ) نیمه چپ افقی. ث) اشتراک نیمه‌های افقی،  
ث) اجتماع نیمه‌های افقی. ج) نیمه بالای عمودی،  
ج) نیمه پایین عمودی. ح) اشتراک دو نیمه عمودی.  
خ) اجتماع دو نیمه عمودی.

#### ۲-۳-۲- الگوریتم بی‌نظمی مرزی

در اینجا از تصویر قطعه‌بندی شده برای دریافت اطلاعات مساحت و محیط استفاده می‌کنیم. این اطلاعات به ترتیب از طریق پارامتر مرتبه‌ی صفرم ممان تصویر<sup>۱</sup> (معادله ۵) و تقریب خطی تکه‌ای<sup>۲</sup> [۱۴] کانتور به دست می‌آید.

$$M_{00} = \sum_x \sum_y I(x,y) \quad (معادله ۵)$$

در اینجا  $M_{00}$  تعداد پیکسل‌های غیرصفر در تصویر باینری است که به عنوان مساحت ضایعه در نظر گرفته می‌شود و  $I(x,y)$  شدت پیکسل‌ها در دوراستای  $x$  و  $y$  است. در معادله خطی تکه‌ای نیز پس از یافتن کانتور لکه، فاصله اقلیدسی بین نقاط متولی یک کمان اندازه‌گیری شده و این مقادیر درنهایت با هم جمع بسته می‌شوند و محیط به دست می‌آید. درنهایت با کمک معادله (۳) بی‌نظمی مرزی اندازه‌گیری می‌شود.

#### ۳-۳-۲- الگوریتم رنگ

در این نرم‌افزار تشخیص رنگ براساس روش یادگیری ماشین خوشبندی کی میانگین<sup>۳</sup> انجام می‌شود. در این الگوریتم با توجه به تعداد کلاسترها تعدادی هسته مرکزی (در اینجا RGB پیکسل‌ها) برای هر کلاستر در نظر گرفته شده و RGB همان مقادیر درنهایت

<sup>1</sup> Image Moment

<sup>2</sup> Piecewise-linear approximation

<sup>3</sup> k-mean clustering

پوستی را هم شامل می‌شوند به راحتی می‌توان عملکرد نرم افزار در تشخیص رنگ مقایسه کرد. در اینجا از ۹۲ داده موجود در پایگاه داده‌ها استفاده شده که حدود ۶۱٪ از آنها به درستی تشخیص رنگ داده شده است. در جدول ۲ نمونه‌ای از عملکرد نرم افزار در تشخیص رنگ، تقارن و مرزیابی موجود در دیتاست PH<sup>2</sup> نشان داده شده است.

جدول ۲ نمونه‌هایی از عملکرد نرم افزار در تشخیص رنگ، تقارن و مرزیابی  
ضایعات پوستی دیتاست PH<sup>2</sup> [۱۰].

قارن		رنگ		مرزیابی	تصویر اصلی
اطلاعات دیتاست	نرم افزار	اطلاعات دیتاست	نرم افزار		
متقارن	متقارن	فرمیز، آبی- حاکمتری	فیروزه‌ای- آبی-حایاتنامی	فیروزه‌ای نیزه	
متقارن	متقارن	مشکی	مشکی، فیروزه‌ای نیزه	مشکی، فیروزه‌ای نیزه	
نامتقارن در دو راستا	نامتقارن در دو راستا	مشکی	مشکی	فیروزه‌ای نیزه	

برای ارزیابی عملکرد نرم افزار در تشخیص بیماری از داده‌های موجود در پایگاه PH<sup>2</sup> و HAM10000 استفاده کردیم. برای این کار به صورت مساوی حدود ۳۲۴ داده ملانومایی و غیرملانومایی به صورت تصادفی انتخاب شدند. ۱۶۲ تصویر شامل لکه‌های ملانومایی و ۱۶۲ تصویر شامل خال‌های مادرزادی خوش‌خیم است. در اینجا ۱۲۳ مورد از لکه‌های ملانومایی دارای ملانوما تشخیص داده شده‌اند (TP=۱۲۳) و ۴۸ لکه ملانومایی به عنوان لکه پوستی سالم (FN=۴۸)، بنابراین شاخص حساسیت نرم افزار در تشخیص بیماری ۷۲٪ به دست آمد.

ارزیابی عملکرد نرم افزار روی لکه‌های خوش‌خیم غیرملانومایی ما را به تعداد ۹۴ مورد تشخیص درست عدم بیماری (TN=۹۴) و ۵۹ مورد تشخیص اشتباه وجود بیماری (FP=۵۹) رساند. بنابراین آمار، شاخص ویژگی این نرم افزار در حدود ۶۱٪ است.

#### ۴-۲- معیارهای ارزیابی

عملکرد هر الگوریتم طبقه‌بندی توسط شاخص‌های آماری مورد ارزیابی قرار می‌گیرد. در اینجا برای ارزیابی کارایی نرم افزار از سه شاخص حساسیت، ویژگی و درستی تشخیص استفاده کرده‌ایم. شاخص حساسیت احتمال این که شخص بیمار به درستی بیمار تشخیص داده شود را نشان می‌دهد. شاخص ویژگی احتمال این که فرد سالم توسط الگوریتم به درستی سالم تشخیص داده شود را بیان می‌کند و درستی تشخیص توانایی مدل را برای تشخیص هر دو مورد سالم و بیمار را نشان می‌دهد. در زیر روابط ریاضی این شاخص‌ها بیان شده است.

$$Sn = \frac{TP}{TP + FN} \times 100 \quad \text{Sensitivity: } Sn \quad (\text{معادله ۶})$$

$$Sp = \frac{TN}{TN + FP} \times 100 \quad \text{Specificity: } Sp \quad (\text{معادله ۷})$$

$$DA = \frac{TP + TN}{TP + FP + TN + FN} \times 100 \quad \text{Detection Accuracy: } DA \quad (\text{درستی تشخیص})$$

(معادله ۸)

که TP<sup>1</sup> تعداد افراد بیماری که به درستی بیمار تشخیص داده شده‌اند، TN<sup>2</sup> تعداد افراد سالمی که به درستی سالم تشخیص داده شده‌اند، FP<sup>3</sup> تعداد افراد سالمی که به غلط بیمار تشخیص داده شده‌اند و FN<sup>4</sup> تعداد افراد بیماری که به غلط سالم تشخیص داده شده‌اند. برای نمایش عملکرد نرم افزار نیز از ماتریس درهم‌ریختگی<sup>۵</sup> استفاده شده است. این ماتریس خلاصه‌ای از پیش‌بینی الگوریتم استفاده شده را نمایش می‌دهد.

#### ۳- یافته‌ها

برای آزمایش عملکرد نرم افزار از دو نوع داده تجربی و داده‌های موجود در دیتاست‌های معتبر شامل PH<sup>2</sup> و HAM10000 استفاده شده است. از آنجایی که داده‌های PH<sup>2</sup> جزئیاتی چون رنگ‌های لکه‌های

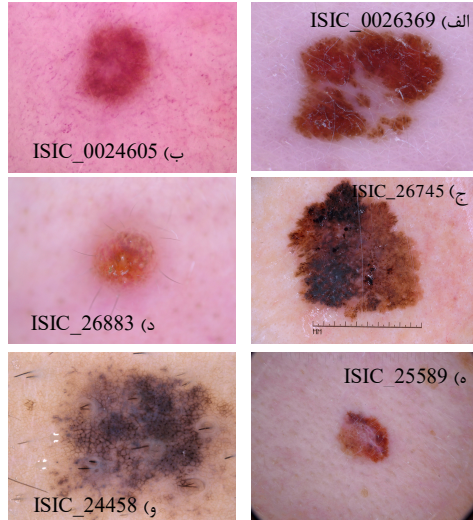
<sup>1</sup> True Positive

<sup>2</sup> True Negative

<sup>3</sup> False Negative

<sup>4</sup> False Positive

<sup>5</sup> Confusion Matrix



شکل ۷ تعدادی از تصویر موجود در دیتابیس .HAM10000.

دقت نرمافزار در تشخیص درست بیماری و سلامت پوست بنابر معادله (۸)  $67\% = \frac{TP + TN}{TP + TN + FP + FN}$  به دست آمد. ماتریس درهمپیچیدگی (شکل ۶) بهوضوح عملکرد نرمافزار در تشخیص سرطانی و غیرسرطانی بودن لکه های پوستی را نشان می دهد. در جدول (۳) نیز نمونه ای از عملکرد نرمافزار در اندازه گیری ویژگی های ظاهری زوائد پوستی براساس الگوریتم ABCD برای تصاویر موجود در شکل (۷) نشان داده شده است.

	سرطانی	غیرسرطانی
سرطانی	TP=123	FN=48
غیرسرطانی	FP=59	TN=94

شکل ۶ ماتریس درهمپیچیدگی الگوریتم تشخیصی نرمافزار

جدول ۳ عملکرد نرمافزار Optoskin در اندازه گیری ویژگی های ظاهری، محاسبه امتیازات و تشخیص و مقایسه آن با تشخیص حقیقی

تشخیص حقیقی	تشخیص نرمافزار	TDS	امتیاز قطر	امتیاز رنگ	امتیاز مرز	امتیاز تقارن	قطر (mm)	رنگها	بننظمی مرزی	تقارن در راستای افقی و عمودی	نام عکس
ملانوما	ملانوما	7,58	3,91	1	0,07	2,6	7,82	قهوهای تیره، قهوهای روشن	0,69	X: 0,19 Y: 0,2	الف ISIC_0026 369
خوش خیم	خوش خیم	3,27	2,19	1	0,08	0	4,37	قهوهای روشن، قهوهای تیره	0,84	0,12X: 0,1Y:	ب ISIC_0024 605
ملانوما	ملانوما	6,51	3,64	1,5	0,07	1,3	7,28	قهوهای تیره، قهوهای روشن	0,73	0,2X: 0,12Y:	ج ISIC_0026 745
خوش خیم	خوش خیم	2,86	1,77	1	0,09	0	3,55	قهوهای روشن، قرمز	0,87	Y: 0,06X: 0,04	د ISIC_0026 883
ملانوما	خوش خیم	4,38	1,5	1,5	0,08	1,3	3	قهوهای تیره، قهوهای روشن، بنفش	0,82	0,15X: 0,17Y:	ه ISIC_0025 589
خوش خیم	ملانوما	7,5	3,84	1	0,06	2,6	7,68	قهوهای تیره، مشکی	0,6	0,19X: 0,18Y:	و ISIC_0024 458

با نام Optoskin V.0.1.Beta توسعه یافته است که رابط کاربری درماتوسکوپی به همین نام بوده که توسط آزمایشگاه تصویربرداری نوری دانشگاه شهیدبهشتی و شرکت پرتوآوای اطلس توسعه داده شده است. این نرم افزار علاوه بر ثبت و ذخیره اطلاعات اولیه بیمار، نمایش تصویر برخط از ناحیه مورد نظر و امکان گرفتن عکس، می تواند به پردازش و تحلیل عکس های گرفته شده پردازد و میزان خطر را براساس قانون ABCD بسنجد. این قانون از شاخص های مهم معاینات پوستی است که ویژگی های ظاهری چون تقارن، بی نظمی مرزی، رنگ و قطر را بررسی می کند. درنهایت به هر یک از این ویژگی ها امتیازی تعلق گرفته و از مجموع آنها امتیاز کلی درماتوسکوپی به دست می آید. در این نرم افزار قبل از تحلیل و تشخیص ملانوما، پردازش هایی اولیه بر روی تصویر انجام می شود. این پیش پردازش در زودن عوامل مزاحم و تشخیص مرزها موثرند. پس از آن برای دست یافتن به هر یک از ویژگی های مورد نظر از الگوریتم هایی که در قسمت روش آمده، استفاده شده است. پس از آن، برای ارزیابی عملکرد نرم افزار در اندازه گیری قطر از داده های تجربی و ارزیابی عملکرد تشخیص از دیتا است های معتبر موجود استفاده شده است. شایان ذکر است که در حال حاضر عملکرد نرم افزار روی داده های بالینی سنجیده نشده است.

درنهایت نرم افزار به دقت ۶۱٪ در تشخیص رنگ، حساسیت ۷۲ درصدی، (شاخص) ویژگی ۶۱٪، درستی تشخیص ۶۷٪ و خطای ۱۴ درصدی در اندازه گیری قطر دست یافت. نتایج به دست آمده در اینجا از آنچه که در پژوهش [۱۱] صورت گرفته ضعیفتر به نظر می رسد. در این تحقیق، یک نرم افزار برای تشخیص خودکار لکه های پوستی براساس قانون ABCD ایجاد شده که توانسته به حساسیت ۸۷ درصدی و شاخص ویژگی ۸۰ درصدی برسد. با این حال این نرم افزار تنها بر روی ۵۰ نمونه (۲۰ نمونه خوش خیم و ۳۰ نمونه بد خیم) با شرایط ویژه ای چون استفاده از نمونه هایی که حتی الامکان تعداد موی کمتری داشته باشد امتحان شده است که البته این موضوع کارایی این نرم افزار را برای تعداد زیادی داده و با شرایط واقعی در هاله ای از ابهام قرار داده است.

برای ارزیابی کارایی نرم افزار در اندازه گیری قطر از خال ها و لکه های پوستی ۲۰ نفر داوطلب و اشکالی که از قبل اندازه قطر شان را می دانستیم استفاده شده است. برای این کار ابتدا نرم افزار کالیبره می شود، بدین صورت که بزرگنمایی درماتوسکوپ مقدار ثابتی در نظر گرفته می شود. سپس با قراردادن خطکش مخصوص زیر دستگاه درماتوسکوپ و کشیدن یک خط ما بین دو واحد متواالی یا غیر متواالی خطکش، دستگاه به طور خودکار واحد پیکسل را به میلی متر تبدیل می کند. درنهایت با گرفتن تصویر از ناحیه مورد نظر، مقدار قطر بزرگ در پنجره Processing و زیر منوی Measurement نرم افزار نمایش داده می شود. مقایسه اندازه قطر که توسط کولیس و نرم افزار اندازه گیری شده درنهایت خطای ۱۴٪ را نشان می دهد. جدول ۴ نمونه ای از عملکرد نرم افزار در اندازه گیری قطر را نشان می دهد.

جدول ۴ مقایسه قطر اندازه گیری شده توسط کولیس و نرم افزار

تصویر	اندازه گیری با کولیس (mm)	اندازه گیری با نرم افزار (mm)	خطای (%)
	۳,۳۳	۳,۴۷	۴,۲
	3.18	3.2	0.6
	3.8	4.29	13
	6.35	6.6	3.9

#### ۴. بحث و نتیجه گیری

سرطان ملانوما یکی از خطرناک ترین سرطان های پوستی است که مرگباری بسیار بالایی دارد. یکی از مهمترین ابزارهایی که در معاینه لکه های پوستی به متخصصان کمک می کند، درماتوسکوپ است. استفاده از یک نرم افزار هوشمند که بتواند پزشک را در امر تشخیص باری کند و اطلاعاتی جامع از وضعیت بیمار به دست دهد از اهمیت بالایی برخوردار است. در این پژوهش یک نرم افزار هوشمند

۶۰۰ در ۴۵۰ به طور متوسط ۲/۵ ثانیه و برای تصاویر<sup>۱</sup> PH با ابعاد ۵۷۵\*۷۶۴ در حدود ۴/۵ ثانیه طول می کشد و در مورد لکه هایی که ابعاد بزرگتری داشته یا نویزهایی مانند مو در آن بیشتر بوده این زمان طولانی تر هم می شود.

راحل موثر برای بهبود پردازش و تحلیل تصاویر در ماتوسکوپی و حصول نتایج مطلوب تر استفاده از الگوریتم های شبکه عصبی ژرف است. این الگوریتم های با یادگیری از داده های آموزش دهنده می توانند در استخراج ویژگی های هر لکه پوستی و یافتن الگوهای ظاهری بهتر عمل کرده و در تشخیص و قطعه بندی بهتر عمل کنند. به عنوان مثال در تازه ترین پژوهش های شبکه های عصبی کپسولی توانستند تا دقیق ۹۸٪ در تشخیص درست نوع ضایعات پوستی برسند [۱۸]. امروزه بسیاری از در ماتوسکوپ های دیجیتال ارائه شده در بازار نیز از الگوریتم های هوش مصنوعی برای تشخیص بهتر و سریعتر بیماری های پوست و مو بهره می برند که از این موارد می توان به در ماتوسکوپ فوتوفایندر<sup>۲</sup> اشاره کرد که از نرم افزاری به نام مولیاناپر پرو<sup>۳</sup> برای تشخیص بیماری های پوستی و نرم افزاری به نام تراکیسکیل ای آی<sup>۴</sup> برای مو استفاده می کنند که هر دو نرم افزار از الگوریتم های یادگیری عمیق استفاده می کنند. بنابراین استفاده از الگوریتم های هوش مصنوعی در افزایش دقت تشخیص در دستور کار بعدی قرار گرفته و به عنوان قدم بعدی در توسعه این نرم افزار در نظر گرفته شده و در مقالات بعدی نتایج آن مطرح می شود.

### تشکر و قدردانی

این اثرت تحت حمایت مالی صندوق حمایت از پژوهشگران و فناوران کشور (INSF) برگرفته از طرح شماره (۹۲۲۸۹۹۶۲) انجام شده است. در ضمن، از شرکت پرتو آوای اطلس بابت در اختیار گذاشتن در ماتوسکوپ دیجیتال اپتواسکین جهت انجام این پژوهه تحقیقاتی نهایت تشکر و قدردانی می نماییم.

<sup>1</sup> FotoFinder

<sup>2</sup> Moleanalyzer pro

<sup>3</sup> Trichoscale AI

اولویت ما در این پژوهش یافتن روشی بر مبنای الگوریتم ABCD بود که بتواند روی بخش بزرگی از داده های تصادفی بدون در نظر گرفتن پیش فرض، عملکرد موثری داشته باشد. عملکرد نرم افزار ما هم روی تعداد کمی داده های تصادفی (در حدود ۱۰۰ عدد) برای همه شاخص های طرح شده بالای ۸۰ درصد به دست آمد، اما به دلیل اینکه عمومیت عملکرد برایمان اهمیت بیشتری داشت ما این تعداد را به ۳۲۴ عدد با تعداد مساوی عکس لکه های ملانومایی و غیر ملانومایی افزایش دادیم که به تبع آن مقدار شاخص ها تغییر کرد.

### ۱-۴- مزایای نرم افزار Optoskin

این نرم افزار علاوه بر این که رابط کاربری یک در ماتوسکوپ دیجیتال است و می تواند در بررسی برخط و گرفتن عکس های در ماتوسکوپی کمک کند، دارای یک بخش پردازش تصویر بوده و می تواند به کمک کمی سازی ویژگی های ظاهری لکه های پوستی که در علم در ماتوسکوپی بسیار حائز اهمیت است، در آنالیز و درنهایت تشخیص بیماری مفید واقع شود. علاوه بر این، این نرم افزار قادر به تحويل گزارشی جامع از وضعیت بیمار بوده و یک تاریخچه منسجم از روند بیماری فرد به پزشک متخصص تحويل می دهد.

### ۴-۲- معایب

نقطه ضعف این نرم افزار پایین بودن شاخص های ارزیابی شامل حساسیت، ویژگی و درستی تشخیص است. همان طور که پیش از این عنوان شد حساسیت این نرم افزار در تشخیص بیماری ۷۲٪ و (شاخص) ویژگی که در واقع عملکرد نرم افزار در تشخیص عدم بیماری را نشان می دهد ۶۱٪ است. این بدین معناست که نرم افزار تمایل بیشتری به ملانوما تشخیص دادن لکه های پوستی دارد.

نقطه ضعف بعدی این نرم افزار استفاده از قانون ABCD برای سنجش خطرناکی لکه هاست. این قانون با وجود این که معیارهای ظاهری مهمی را می سنجد اما یافتن یک الگوریتم کارآمد جامع برای اندازه گیری همه ویژگی های ظاهری ما را با پیچیدگی های محاسباتی زمان بر رو ببرو می سازد. به طور مثال، محاسبه این ویژگی ها برای تصاویر موجود در پایگاه داده HAM10000 با ابعاد

## References:

- [1] Kopf, A. W., Rigel, D. S., & Friedman, R. J. (1982). The rising incidence and mortality rate of malignant melanoma. *Dermatologic Surgery*, 8(9), 760–761.
- [2] Nasir, M., Attique Khan, M., Sharif, M., Lali, I. U., Saba, T., & Iqbal, T. (2018). An improved strategy for skin lesion detection and classification using uniform segmentation and feature selection based approach. *Microscopy research and technique*, 81(6), 528–543.
- [3] Koh, H. K., Lew, R. A., & Prout, M. N. (1989). Screening for melanoma/skin cancer: theoretic and practical considerations. *Journal of the American Academy of Dermatology*, 20(2), 159–172.
- [4] Khan, M. A., Muhammad, K., Sharif, M., Akram, T., & de Albuquerque, V. H. C. (2021). Multi-class skin lesion detection and classification via teledermatology. *IEEE journal of biomedical and health informatics*, 25(12), 4267–4275.
- [5] Sinz, C., Tschandl, P., Rosendahl, C., Akay, B. N., Argenziano, G., Blum, A., ... & Kittler, H. (2017). Accuracy of dermatoscopy for the diagnosis of nonpigmented cancers of the skin. *Journal of the American Academy of Dermatology*, 77(6), 1100–1109.
- [6] Burroni, M., Corona, R., Dell'Eva, G., Sera, F., Bono, R., Puddu, P., ... & Rubegni, P. (2004). Melanoma computer-aided diagnosis: reliability and feasibility study. *Clinical cancer research*, 10(6), 1881–1886.
- [7] Piccolo, D., Crisman, G., Schoinas, S., Altamura, D., & Peris, K. (2014). Computer-automated ABCD versus dermatologists with different degrees of experience in dermoscopy. *European Journal of Dermatology*, 24, 477–481.
- [8] Messadi, M., Cherifi, H., & Bessaid, A. (2021). Segmentation and ABCD rule extraction for skin tumors classification. *arXiv preprint arXiv:2106.04372*.
- [9] Rigel, D. S., & Friedman, R. J. (1993). The rationale of the ABCDs of early melanoma. *Journal of the American Academy of Dermatology*, 29(6), 1060–1061.
- [10] Lederman, J. S., Fitzpatrick, T. B., & Sober, A. J. (1984). Skin markings in the diagnosis and prognosis of cutaneous melanoma. *Archives of dermatology*, 120(11), 1449–1452.
- [11] Jaworek-Korjakowska, J. (2012). Automatic detection of melanomas: an application based on the ABCD criteria. In *Information Technologies in Biomedicine: Third International Conference, ITIB 2012, Gliwice, Poland, June 11–13, 2012. Proceedings* (pp. 67–76). Springer Berlin Heidelberg.
- [12] Tschandl, P., Rosendahl, C., & Kittler, H. (2018). The HAM10000 dataset, a large collection of multi-source dermatoscopic images of common pigmented skin lesions. *Scientific data*, 5(1), 1–9.
- [13] Mendonça, T., Ferreira, P. M., Marques, J. S., Marcal, A. R., & Rozeira, J. (2013, July). PH 2-A dermoscopic image database for research and benchmarking. In *2013 35th annual international conference of the IEEE engineering in medicine and biology society (EMBC)* (pp. 5437–5440). IEEE.
- [14] Abbadi, N. K., & Faisal, Z. (2017). Detection and analysis of skin cancer from skin lesions. *Int. J. Appl. Eng. Res*, 12(19), 9046–9052.
- [15] Telea, A. (2004). An image inpainting technique based on the fast marching method. *Journal of graphics tools*, 9(1), 23–34.

- [16] Otsu, N. (1979). A Threshold Selection Method from Gray-Level Histograms in IEEE Transactions on Systems, Man, and Cybernetics, 9, 1, 62-66.
- [17] Novikov, A. I., Ustyukov, D. I., Tarasov, A. S., & Efimov, A. I. (2021, March). Piecewise-Linear Contour Approximation and Linear Sections Detection. In 2021 23rd International Conference on Digital Signal Processing and its Applications (DSPA) (pp. 1-4). IEEE.
- [18] Lan, Z., Cai, S., He, X., & Wen, X. (2022). FixCaps: An improved capsules network for diagnosis of skin cancer. IEEE Access, 10, 76261–76267.